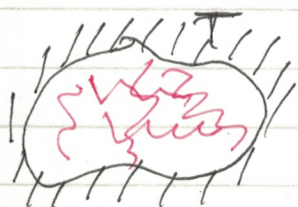
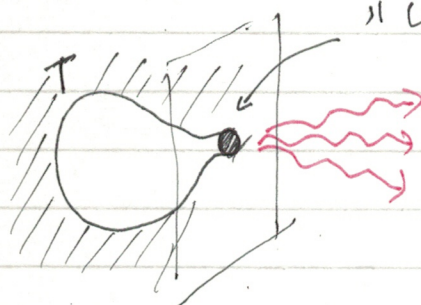


# La catástrofe ultravioleta



cavidad metálica con paredes a temperatura  $T \rightarrow$  radiación em. Ilumina la cavidad



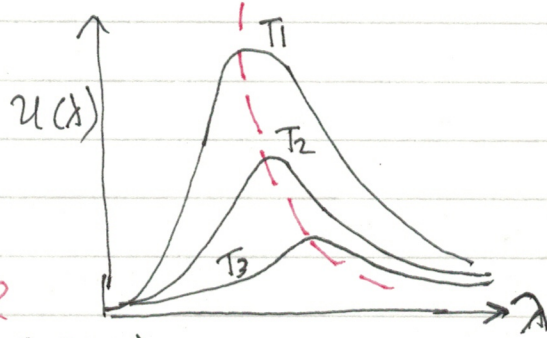
"cuerpo negro"

radiación de cuerpo negro.

obs. experimental:

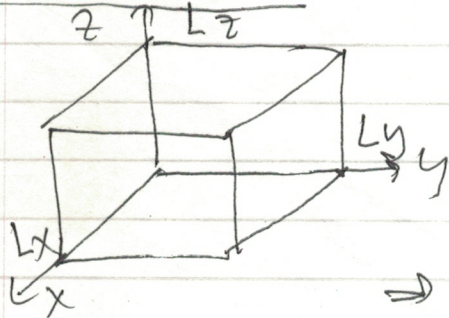
$$\lambda_{\text{máx}} = \frac{\text{cte.}}{T}$$

Ley de Wien (1893)



# Teo. clásica de Rayleigh-Jeans

cavidad cubica



$$\nabla^2 \vec{E} - \frac{1}{c^2} \frac{\partial^2 \vec{E}}{\partial t^2} = 0 \quad (1)$$

$$\vec{E} = \vec{E}(\vec{r}, t) = \vec{E}(\vec{r}) e^{i\omega t}$$

$$\Rightarrow \nabla^2 \vec{E} + k^2 \vec{E} = 0 \quad (2)$$

$$k^2 \equiv (\omega/c)^2 \quad (3)$$

$$\nabla^2 \vec{E} + K^2 \vec{E} = 0 \Rightarrow \nabla^2 E_x + K^2 E_x = 0 \quad i = x, y, z$$

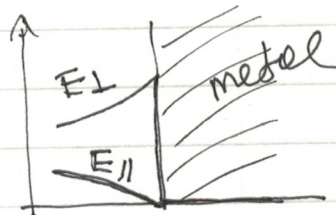
$$i=x: \quad \nabla^2 E_x(x, y, z) + K^2 E_x(x, y, z) = 0$$

Separación de variables:  $E_x(x, y, z) = X(x)Y(y)Z(z)$

$$\Rightarrow X''Yz + XY''Z + XYZ''' + K^2 XYZ = 0$$

$$\Rightarrow \frac{X''}{X} + \frac{Y''}{Y} + \frac{Z''}{Z} + K^2 = 0$$

Dep. de x    Dep. de y    Dep. de z



$$X'' + K_x^2 X = 0$$

$$Y'' + K_y^2 Y = 0$$

$$Z'' + K_z^2 Z = 0$$

$$\text{con } K_x^2 + K_y^2 + K_z^2 = K^2$$

condic. de borde:  $E_x(x, y, z) = 0$  en  $y = L_y; y = 0$   
 $z = 0; z = L_z$

$$\Rightarrow X(x) = C_0 \cos(K_x x)$$

$$Y(y) = \sin(K_y y)$$

$$Z(z) = \sin(K_z z)$$

↓

$$K_y L_y = n_y \pi$$

$$K_z L_z = n_z \pi$$

$$\Rightarrow E_x(x, y, z) = A \cos(K_x x) \sin\left(\frac{n_y \pi}{L_y} y\right) \sin\left(\frac{n_z \pi}{L_z} z\right)$$

Análogamente,

debe ser igual a  $\frac{n_x \pi}{L_x}$

$$E_y(x, y, z) = B \sin\left(\frac{n_x \pi}{L_x} x\right) \cos\left(\frac{n_y \pi}{L_y} y\right) \sin\left(\frac{n_z \pi}{L_z} z\right)$$

que satisface:  $E_y = 0$  en  $x = 0 \wedge x = L_x$   
 $z = 0 \wedge z = L_z$

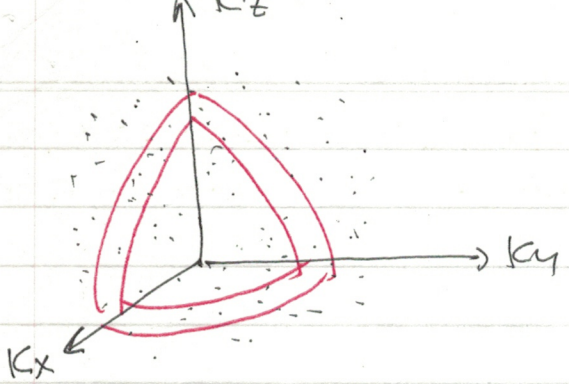
$$\text{Finalmente, } E_z(x,y,z) = C \sin\left(\frac{n_x \pi x}{L_x}\right) \sin\left(\frac{n_y \pi y}{L_y}\right) \cos\left(\frac{n_z \pi z}{L_z}\right)$$

que cumple:  $E_z = 0$  en  $x=0 \wedge x=L_x$   
 $y=0 \wedge y=L_y$

$$\text{Aplicación de } \nabla \cdot \vec{E} = \frac{\partial E_x}{\partial x} + \frac{\partial E_y}{\partial y} + \frac{\partial E_z}{\partial z}$$

$\Rightarrow An_x + Bn_y + Cn_z = 0 \rightarrow$  quedan 2 cts. libres  
 $\rightarrow$  2 modos l.i. de oscilación  
(2 posibles polarizaciones)

$$\left(\frac{\omega}{c}\right)^2 = k^2 = k_x^2 + k_y^2 + k_z^2$$



cuales son los modos permitidos entre  $|k|$  y  $|k| + \Delta |k|$ ?

$$\Delta k_x = \pi / L_x$$

$$\Delta k_y = \pi / L_y$$

$$\Delta k_z = \pi / L_z$$

$\Rightarrow$  Cada modo ocupa un "volumen"  $\pi^3 / L_x L_y L_z = \pi^3 / V$

$$n(k) \Delta k = \frac{1}{8} \cdot \frac{4\pi k^2 \Delta k \times 2}{(\pi^3 / V)} = \frac{V k^2 \Delta k}{\pi^2}$$

$$\boxed{n(k) = \frac{V k^2}{\pi^2}}$$

$$\text{De } \omega = ck \Rightarrow d\omega = c dk$$

$$\Rightarrow n(\omega) d\omega = n(k) dk \Rightarrow n(\omega) = n(k(\omega)) = \frac{(V)(\frac{\omega}{c})^2}{(d\omega/dk)} = \frac{(V)(\frac{\omega}{c})^2}{C}$$

$$\boxed{\therefore n(\omega) = \left(\frac{\omega}{c}\right)^2 \frac{V}{\pi^2 C}} \quad (6)$$

$$\text{Densidad de energía: } u(\omega) = n(\omega) \overline{E_\omega} \quad (7)$$

Teo. clásico: prob. q' un oscilador huya energía entre  $E$  y  $E + dE$ , si la temp. es  $T$  es:

$$p(E) dE = \frac{e^{-E/k_B T}}{\int_0^\infty e^{-E/k_B T} dE} dE \quad (8)$$

$$0 \text{ Sea, } \bar{E}_\omega = \frac{\int_0^\infty E e^{-E/KT} dE}{\int_0^\infty e^{-E/KT} dE} = -\frac{d \ln \left[ \int_0^\infty e^{-\beta E} dE \right]}{d\beta}$$

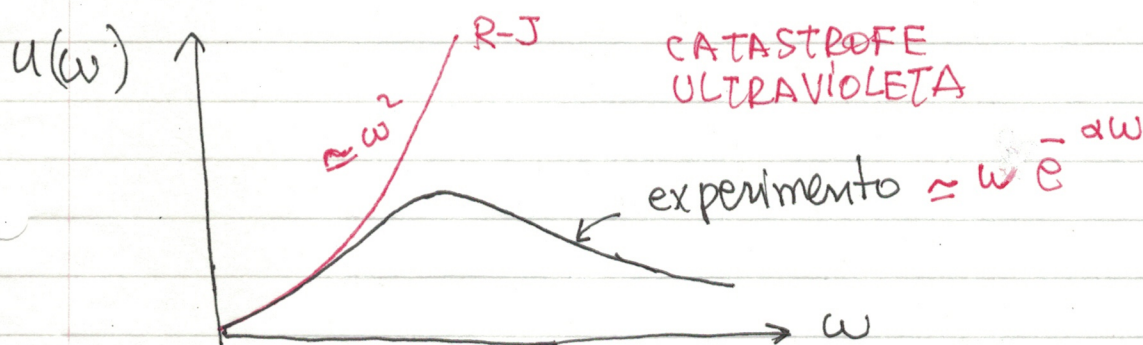
$$= -\frac{d}{d\beta} \left[ \ln \left( \frac{1}{\beta} \right) \right] = -\beta \cdot \left( -\frac{1}{\beta^2} \right) = 1/\beta = K_B T$$

$$\Rightarrow U(\omega) = \left( \frac{\omega}{c} \right)^2 \frac{V}{\pi^2 C} \cdot K_B T = \boxed{\frac{\omega^2 V K_B T}{\pi^2 C^3}} \quad (9)$$

Formula de  
Rayleigh-Jeans

Energía total en la cavidad.

$$\frac{U}{V} = \frac{K_B T}{\pi^2 C^3} \int_0^\infty \omega^2 d\omega = \infty \quad \rightarrow \leftarrow \quad (10)$$



# Teoría de Planck

Hipótesis: La energía de un oscilador es un múltiplo entero de  $\hbar\omega$ .

$$E = n \hbar \omega \quad (1)$$

↓      ↓      ↓  
 Energía      Entero      Frec. angular

$$\bar{E}_\omega = \frac{\sum_{n=0}^{\infty} n \hbar \omega e^{-\frac{n \hbar \omega}{kT}}}{\sum_{n=0}^{\infty} e^{-\frac{n \hbar \omega}{kT}}} = -\hbar \omega \frac{d}{dx} \left[ \log \sum_{n=0}^{\infty} e^{-nx} \right] \quad x = \hbar \omega / kT$$

$$S = \sum_{n=0}^{\infty} e^{-nx} = 1 + e^{-x} + e^{-2x} + \dots$$

$$e^{-x} S = e^{-x} + e^{-2x} + \dots$$

$$S(1 - e^{-x}) = 1 \Rightarrow S = \frac{1}{1 - e^{-x}} \Rightarrow \frac{1}{x} \left[ \log(1 - e^{-x}) \right] = \frac{-x(1 - e^{-x})^{-1}}{(1 - e^{-x})^{-1}}$$

$$= \frac{-e^{-x}}{1 - e^{-x}} = \frac{-1}{e^{-x} - 1} \quad \checkmark$$

$$\bar{E}_\omega = \frac{\hbar \omega}{e^{\frac{\hbar \omega}{kT}} - 1} \quad (2)$$

$$\bar{E}_\omega \rightarrow k_B T \quad \hbar \omega \ll k_B T \quad \text{Rayleigh-Jeans}$$

$$\bar{E}_\omega \rightarrow \hbar \omega e^{-\frac{\hbar \omega}{kT}} \quad \hbar \omega \gg k_B T \quad \text{experimento}$$

$$U(\omega) = n(\omega) \bar{E}_\omega = \frac{V\omega^2}{\pi^2 C^3} \left( \frac{\hbar\omega}{e^{\frac{\hbar\omega}{kT}} - 1} \right) \quad (3)$$

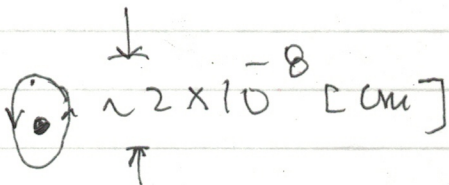
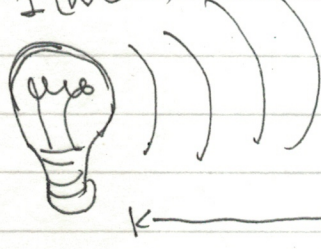
reproduce los resultados experimentales si  $\hbar = 1.054 \times 10^{-27}$  [erg.s]

### Efecto Foteléctrico

- (i) Al iluminar una placa metálica escapan  $e^-$ .
- (ii) Energía de los  $e^-$  emitidos es independiente de la intensidad de la luz; sólo dep. de la frecuencia y el tipo de metal.
- (iii) Emisión de  $e^-$  es virtual / "instantánea".

(ii) y (iii) NO pueden ser explicados clásicamente

$$1 \text{ Watt} = 10 \text{ [erg/s]}$$



$$100 \text{ [cm]} \quad \longrightarrow$$

La potencia incidente sobre 1 atomo de la placa metálica

$$\hookrightarrow: 10^7 \left[ \frac{\text{erg}}{\text{sec}} \right] \frac{\pi (10^{-8})^2 (\text{cm}^2)}{4\pi (100)^2 \text{ [cm}^2\text{]}} = 0.25 \times 10^{13} \left[ \frac{\text{erg}}{\text{sec}} \right]$$

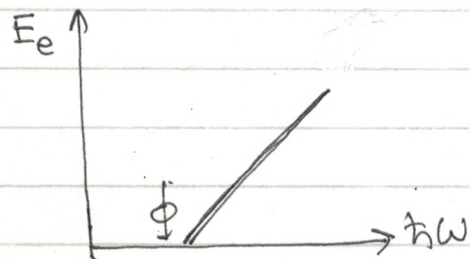
$\Rightarrow$  para observar  $1 \text{ eV} = 1.6 \times 10^{-12} \text{ [erg]}$  se requiere un

energía obs. en las foto-electrón

tiempo del orden de:  $\frac{1.6 \times 10^{-12}}{0.25 \times 10^{-13}} \approx 60 \text{ [secs]} = 1 \text{ [min]}$

Einstein: Una onda e.m. está compuesta de  $n$  portadoras (fotones) de energía  $\hbar\omega$ .

→ mayor intensidad → mayor n° de fotones.



$$E_e = \hbar\omega - \phi \quad \begin{matrix} \leftarrow \\ \text{fn. trabajo del} \\ \text{metal} \end{matrix}$$

verificado experimentalmente por  
Millikan.

### Calor Específico de moléculas diatómicas

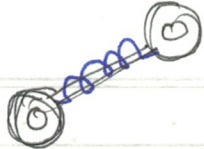
P. de Equipartición de Energía:

cada grado de libertad contribuye con  $\frac{1}{2}k_B T$  a la energía total (no relativista)

P. libre en 3D:  $H = \frac{\vec{P}^2}{2m} = \frac{P_x^2}{2m} + \frac{P_y^2}{2m} + \frac{P_z^2}{2m} \rightarrow \frac{3}{2}k_B T = U$

$$C = \frac{\partial U}{\partial T} = \frac{3}{2}k_B$$

## Molécula diatómico



$$H = \frac{\vec{P}^2}{2m} + \frac{\vec{L}^2}{2I} + \frac{1}{2}kS^2$$

$\downarrow \frac{3}{2}kT$        $\downarrow kT$        $\downarrow \frac{1}{2}kT$        $= 3kT \Rightarrow C_V = 3k_B$

sin embargo, experimentalmente se encuentra  $C_V = \frac{5}{2}k_B < 3k_B$

Según Planck, el grado de l. vibracional sólo puede tener una energía del tipo  $n\hbar\omega$

$$\Rightarrow \bar{E}_{vib} = \frac{\hbar\omega}{e^{\frac{\hbar\omega}{kT}} - 1}$$

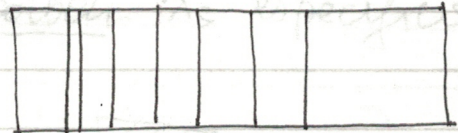
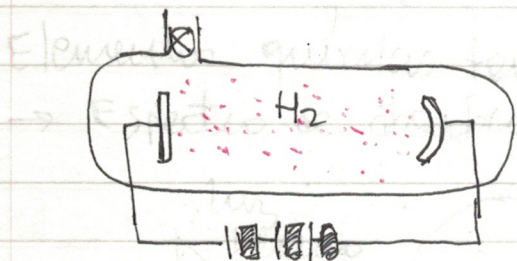
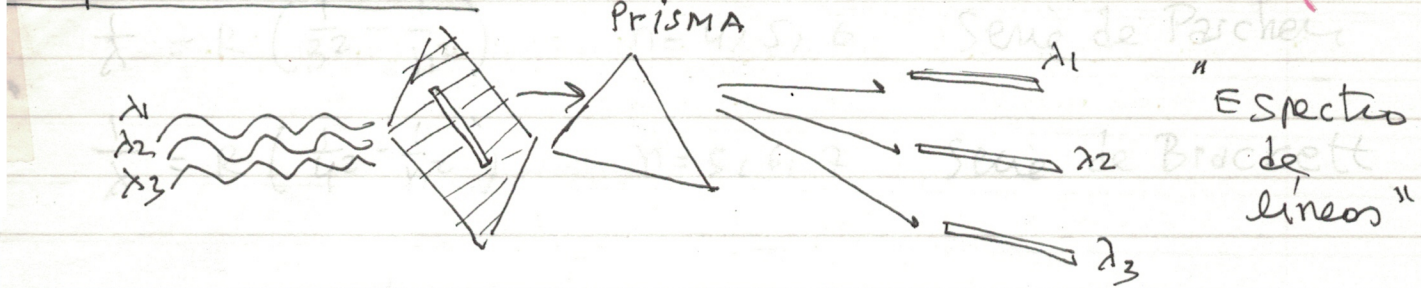
Del efecto vibracional de la molécula se deduce que  $\hbar\omega/k_B \sim 5000 [K] \Rightarrow eT \text{ es grande (300 [K])}$ ,

$$\frac{\hbar\omega}{k_B T} \approx \frac{5000}{300} \gg 1 \Rightarrow \bar{E}_{vib} \ll k_B T$$

o sea, el grado de l. vibracional está "congelado".

$$\bar{E}_{vib} \approx kT \left(\frac{\hbar\omega}{kT}\right) e^{-\left(\frac{\hbar\omega}{kT}\right)} = kT \times 16^{-16} e^{-16} = 2 \times 10^{-6} kT \ll kT$$

# Espectros Atómicos



346.6 (nm)

$\lambda_s$  contenidos en un espectro de líneas son características del elemento.

El misterio: Por qué sólo ciertas  $\lambda_s$  están presentes?

H<sub>2</sub>: en la región VISIBLE, se observaron los sigs.  $\lambda_s$ :

656.3 nm, 486.1 nm, 434.1 nm y 410.2 nm

Johann Balmer (1885) : Fórmula empírica

$$\frac{1}{\lambda} = R \left( \frac{1}{2^2} - \frac{1}{n^2} \right)$$

$n = 3, 4, 5, \dots$

$$R = 1.09737 \times 10^7 \text{ m}^{-1}$$

serie de Balmer

Otras series para el H<sub>2</sub> fueron halladas:

$$\frac{1}{\lambda} = R \left( 1 - \frac{1}{n^2} \right)$$

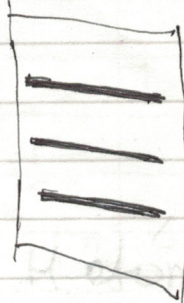
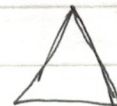
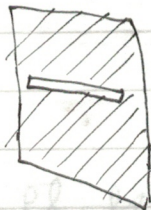
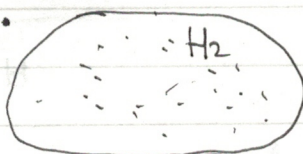
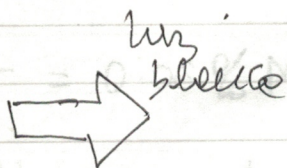
$n = 2, 3, 4, \dots$

serie de Lyman

$$\frac{1}{\lambda} = R \left( \frac{1}{3^2} - \frac{1}{n^2} \right) \quad n=4, 5, 6 \quad \text{Serie de Paschen}$$

$$\frac{1}{\lambda} = R \left( \frac{1}{4^2} - \frac{1}{n^2} \right) \quad n=5, 6, 7 \quad \text{Serie de Brackett}$$

Elementos químicos también absorben λs específicos  
 → Espectro de absorción



clínes del espectro de absorción ~~coincide~~ coincide con uno líneas del espectro de emisión.

Note histórico: Descubrimiento del He a partir del espectro de absorción de la luz solar.

$$c = 3 \cdot 10^8 \text{ m/s}$$

$$M_{\odot} = 9.1 \times 10^{30} \text{ kg}$$

$$R_{\odot} = 0.5 \times 10^9 \text{ m} \Rightarrow 10^{-16} = H_2 \times 10^{30} \text{ (radio) } \times 10^8 \text{ (velocidad)}$$

→ Solo 1 línea espectro → He

Modelo

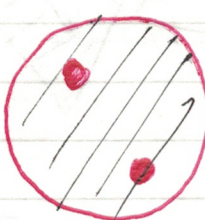
atómico de Thompson

: 1904

(a.k.a. the plum pudding model)



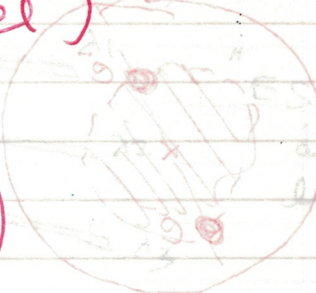
$1 e^-$



$2 e^-$



$(3) e^-$



$$\frac{9}{(75)} = \frac{1}{7}$$

$$M_{e^-} = 0.05\% M_H$$

Problema: No puede explicar el espectro de H atómico.

$$\text{Gauss} \Rightarrow -\frac{e q(r)}{r^2} = m_e a_e$$

$$q(r) = \frac{4\pi}{3} r^3 \cdot p = \frac{4\pi r^3}{3} \frac{e}{4\pi a_0^3} = e \left(\frac{r}{a_0}\right)^3$$

$$\Rightarrow F = -e^2 \left(\frac{r}{a_0}\right)^3 = -\frac{e^2 r}{a_0^3}$$

$\Rightarrow$  oscilación armónica de frecuencia:

$$\omega = \sqrt{\frac{e^2}{m_e a_0^3}}$$

$$e = 4.8 \times 10^{-10} \text{ esu}$$

$$m_e = 9.1 \times 10^{-28} \text{ gr}$$

$$a_0 = 0.5 \times 10^{-8} \text{ cm} \Rightarrow \omega = 4 \times 10^{16} \text{ rad/s}$$

ultravioleta

$\Rightarrow$  solo 1 línea en el espectro

